

II-75 蛇行の発達に関する二三の実験的研究

建設省土木研究所 正員 須賀堯三
建設省土木研究所 正員 林 敏夫

1. はじめに

河川の蛇行傾向は古くから個々の河川において観察研究され、河川改修はそれぞれの時代の担当技術者の蛇行理論に基づいて行われてきただ。蛇行に関する基礎的研究は古くより数多くはされてきたり、最近はとくに活発で評価すべき成果があげられている。しかしながら、現在なお河川の改修計画の検討中、常に話題上にのぼり、素朴な疑問が投げかけられながら、うやむやのうちに丁寧には解答が得られないまま放置されるのが現状である。

ここでは、実用的な観点から、利根川などの現地資料を通じて問題点を考察し、蛇行の再現性や発達状況について実験による検討を行なつた。

2. 日本の蛇行河川の、蛇行長さおよび蛇行幅

建設省直轄の河川¹⁾を調べて蛇行している部分を選出し、蛇行長さ、蛇行幅²⁾、計画流量Q_p、および勾配³⁾との関係が図-1、2のようだ示せられている。この場合、穿入蛇行を除外し、一つの河川で蛇行部を3ヶ所取り出したものもある。同図によれば、流量が大きくなると蛇行長、幅とともに増大する傾向にあるが、勾配によつて流量に伴う蛇行長の増大の仕方に違いがある。全体的にみて、勾配の大きい方が蛇行長が小さい。しかし地質地形条件や人工要素もあり、実はかなりばらついていいる。なかなかRegime Theory⁴⁾とおりにはいかない。

3. 利根川下流部河道の蛇行

利根川下流部は緩流河川で計画勾配 $Y_{9,000}$ 、 $dm=0.05 \sim 0.2 \text{ mm}$ 、計画流量 $5500 \text{ m}^3/\text{s}$ である。しかし蛇行が激しく、局所洗掘が大きい。記録によれば、深堀部の最高水深は、 50 km 付近の神崎頭神森 $\geq 25 \text{ m}$ 、 43 km の高佐 $\geq 18 \text{ m}$ 、 36.5 km の津宮 $\geq 15 \text{ m}$ が三次深潭である。だが、オ2期改修工事(昭40～昭5)でシートガットされ、上位2ヶ所は埋め立てられた。現在は、 40 km 佐原 $37.5 \sim 36.5 \text{ km}$ の深原・津宮地先、 33 km 草谷などが深堀部とな

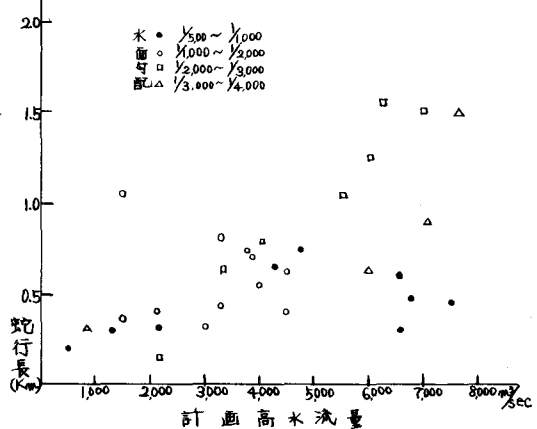


図-1 河川の蛇行長と流量

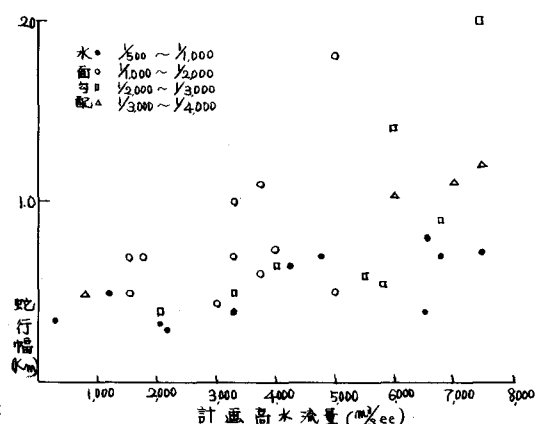


図-2 河川の蛇行幅と流量

*小見川、高川、久慈川、入間川、荒川、鬼怒川、木代川、石切川、最上川、阿武隈川、阿賀野川、那珂川、千曲川、長良川、豊川、紀の川、美濃川、猪川、入田川、筑後川、大淀川、入野川、川内川、球磨川、有地川、苗川、鳴瀬川、北上川、快部川、黄毛川

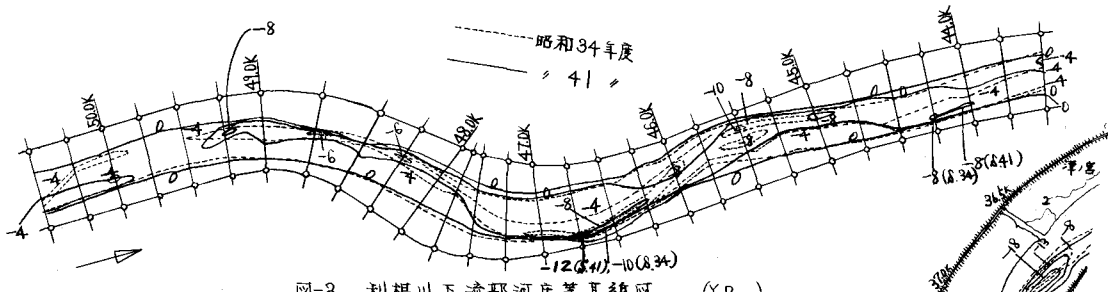


図-3 利根川下流部河床等高線図 (Y.P.m)

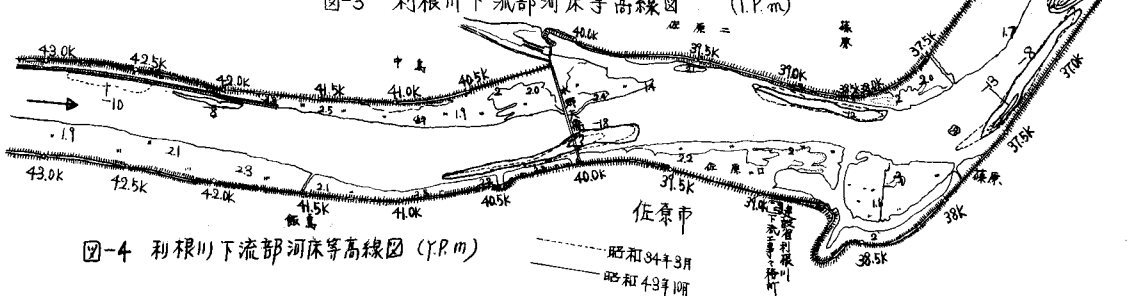


図-4 利根川下流部河床等高線図 (Y.P.m)

つてあり、深堀部が堤防に接近している所では、堤防の法勾配よりも急な勾配で高水敷より下20mまで落ちこんでいる。⁽³⁾ 図-3は移動状況を示す一例である。わん曲の急なところの深堀部は固定しているが、一般に少しづつ下流に移動しているようであり、現在の深堀部よりはかなり上流の所には、⁽⁴⁾ いさうのような所に昔の護岸が残されているような例が所々みられる。また蛇行のパターンは蛇行長が川幅の6倍といふようにと多いわれているが、図-4の佐原地区水郷大橋付近のように、低水路の曲率が小さいのに堤防に沿って長く深く掘れる例もみられる。なおこの深堀部はここ20年間以上変化していないと考えられている。

4. 河道計画上の蛇行関連の問題点

河川の蛇行現象は個々の河川の種々の要素が関係して単純ではないが、現象を抽出して、河道計画上しばしば問題となることを列挙すれば、おおよそ次のようであろう。すなむち(1)蛇行はランダム現象であるのか(再現性・蛇行発生位置、蛇行長、蛇行幅と時間的要素など) (2)同一の水理条件に対して蛇行のパターンとして安走状態は存在するのか(蛇行の形状変化および平行移動など)、河道に適当にわん曲部を設けて蛇行を固定することは、河道法諒を直線的にして蛇行を不要化するより望ましいとの考え方があるがまだかなり支配的であると思われるが、時間の経過につれ、かつて水当りの強かつわん曲部が水裏になることがある。この場合、蛇行固定の条件や深堀れおよび維持対策などが問題となるであろう。(3)蛇行の発生条件としては、いろいろの要素が考えられており、高く評価される理論的研究も活発に行われているが、現実の問題として、合流条件の変化に伴う下流部蛇行特性、木制(透過不透過越流非越流)構造物の構造物の蛇行特性におよぼす影響、および床固や水門の影響などが未解決である。また、置換工法や浚渫の効果等についても確信を持てないので現状である。⁽⁴⁾ Regime Theory を現地に適用する場合、蛇行長や蛇行幅が継続的に一定の実験結果が得られにくくまた利根川佐原地区のように曲率が小さいのに長く深く掘れている例などもある。この点は必ずしもばかりである。以上のように問題の解決は至難のものであろうが、実用上の判断のための資料を多少なりとも得られればよいということと、目標を低くあいて二三の実験を行ってみた。

5 実験内容

鹿島試験所に設けた、長さ45m、幅10mの大型移動床水路に、平均粒径 $d_m = 0.2\text{mm}$ のばら均一の砂を敷き、表-1の11ケースの自由蛇行の実験を行った。初期河床の形状は幅30cm、高さ10cmの長方形断面とし、最高78時間、一定流量(地下水、水温一定)を通水した。なお、補給砂は行っていない。また、細井⁽¹⁾の行った実験は $d_m = 0.3\text{mm}$ 、初期河床幅30cm、高さ10cm、側法勾配2割の台形断面である。

実験番号	流量 q_s	流入角度	河床勾配	通水時間
1	5	30°	$1/200$	14時間
2	"	"	"	28
3	"	60°	"	29
4	7.5	"	"	32
5	"	90°	"	78
6	"	0°	$1/100$	46
7	"	"	"	48
8	"	"	"	41
9	"	30°	"	26
10	"	60°	"	23
11	"	90°	"	74

6 実験結果とその考察

表-1 実験ケース

通水後、水が側壁の内部へ浸透すると4~5分で上流から下流部まで側壁崩壊が完了する。崩壊巾は4~4.5m²、水路巾は上流から下流まで38~40cmの一様水路となる。崩壊土砂補給のため水路底は3cm程度一様に上昇し、水深3~4cm程度の一様流となる。下流端水位一定とし補給砂は行われないが、上流部から河床低下を始め、8分後に流頭部にかられた砂れんは20分後には6m下流まで発生し、以後逐次最下流端にまで波及する。砂れん発生後は水位が急上昇して Bank fall は流れとなる。砂れんは主として流心部において長さ10cm、高さ1~2cmの ripple があり、堆積部には顕著なものがみられない。以上は実験10についての記述であるが、他のケースにおいてもほぼ同様である。図-1は最深および最高河床の縦断図であるが、かなり直線性がある。この傾向は全てのケースに共通している。また、初期河床勾配 $1/200$ の場合も時刻経過後は $1/100$ の場合と同様の縦断形を示す。蛇行は、流頭部に角度をつけた場合に上流から直線水路の場合には途中から発生し、下流に波及した。上流への波及はかすかに流路がひかれる程度である。直線水路の場合でも、Alternate Bar が観察される以前に、流線のかすかな蛇行がみられ、側方侵食が始たようだみえた。蛇行が下流部へ移行するにつれて、補給砂のない上流部の河床変動は停止する。蛇行が十分に発達すると、流れの集中と洲が同時存在するが、やがて凹部ぐる反はつする流れと側壁に沿う流れが発生し、流路がわかれようになる。凹部は侵食につれ少しづつ下流に移動することもあるが、次第に流路は複雑に分岐合流し、いわゆる網状を呈す。実験ではこの状態で持続力を失って河床変動は極度に低下する。しかし、図-6にも示すように河床横断形は終始かなり平坦で、わん曲部の深掘れのように極端な流掘形とはならないようである。

再現性については、流頭部に角度をつけた場合は、全く同一の流路変動を示した。直線水路の場合は、蛇行の開始位置、開始時間は多少のずれはあるが、

入力異なるものではなかった。蛇行ピッチ、流路巾の距離的時間的变化は実験6と8とはほぼ同様であるが、実験7では多少異っていた。多少不規則ではあるが、かなり再現性があるとみてよいようである。

利根川等の河川例みると、蛇行の発達過程で水衡部位置が徐々に下流へ移行する例と固定しきる

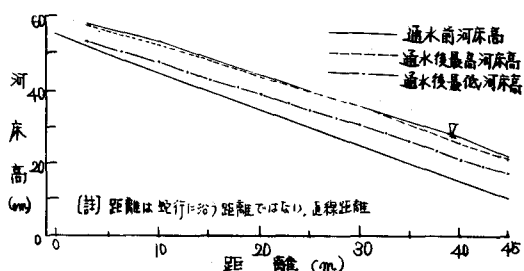


図-5 河床、水位一縦断図 (実験10)

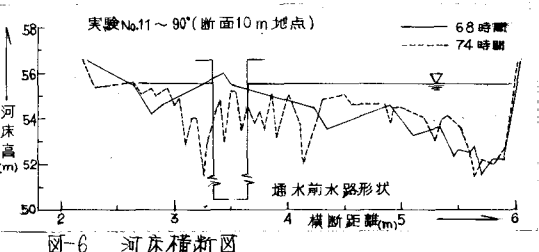


図-6 河床横断図

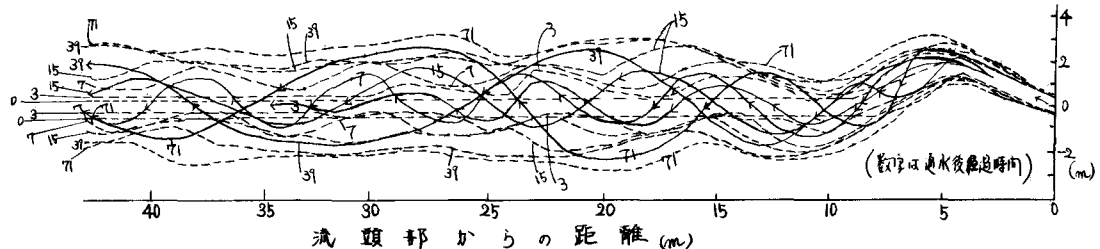


図-7 蛇行流路および流線の時間変化(実線は流路境界、実線は流線とす。細井による)

場合がみられる。今回の実験では下流への移動は極くわずかであるが、細井の実験(1960, 1961)では図-7にみられるように蛇行および流線は時間とともに大きな変化を示している。図-8は同じ実験の10~40 m間の平均蛇行長と蛇行中の時間変化で、初期の急激な変化の様子、および23時間以後の安定期に至るまでの変化を示す。流れが水束の場合には、水束部位置は自由蛇行では徐々に下流へ移行すると考えた方がよさそうである。

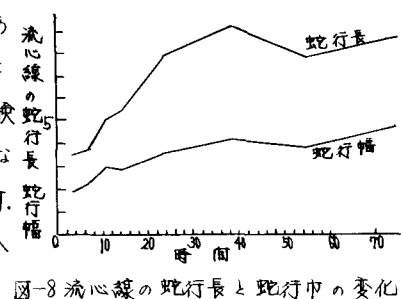


図-8 流心線の蛇行長と蛇行中の変化

また、蛇行のパターンは流頭部条件によっても多少の変化を示す。図-9の安定期の水路中をみると、流頭部角度が大きくなるにつれて、平衡軸になるまでの距離が短くなり、平衡の水路中を縦断時に短かい距離で安定するため少しづつ小さくなる傾向を示すが、90°の場合は上流端においてすぐには大きくなりやすくなるために平衡水路中も逆に大きくなっている。蛇行中は二波長目あたりより平衡状態になり、流頭部条件による差異はあまり認められない。しかし、蛇行の波長はいずれのケースにおいても下流に向かって増大する傾向にあり、しかも流頭部角度によつてまちまちである。特に90°の場合はかなり波長が大きくなつて、平衡軸と流路中を保つながら、ゆったりとした蛇行を呈するようになる。

初期勾配が小さい場合は、蛇行の発達が時間的にあつただけではなく、蛇行パターンにはあまり影響していないようである。

7. 結論

蛇行は実験範囲では縦断的にいっせいに発生するものではなく、上流からの波及効果が支配的のようである。再現性はかなり認められるが、蛇行は元来安定したものではない。合流条件や粗度など流線に影響するものがあれば蛇行パターンは変化し、それが下流に影響する。自由蛇行の安定形の存在に確信を持つことはできなく、徐々に変化しながら下流に移行するものと解釈した方がよさうである。以上はわずかに実験結果からの結論であり、一般性を論ずるにはさらに条件を変えた検討を必要とする。

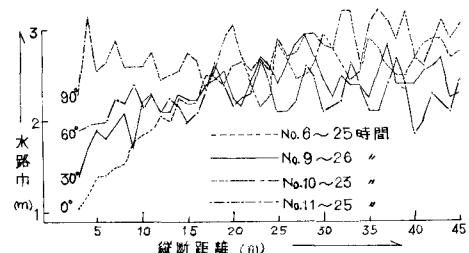


図-9 流頭部条件による水路中縦断の変化



図-10 流頭部条件による蛇行中縦断変化

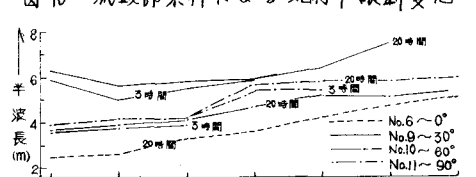


図-11 流頭部条件による半波長縦断変化